

表 835-11

# 无锡中微爱芯电子有限公司

Wuxi I-CORE Electronics Co., Ltd.

版次: B3

编号: AiP74LVC2G125-AX-LJ-B038

# AiP74LVC2G125 带三态控制的2路缓冲器/线驱动器

# 产品说明书

#### 说明书发行履历:

版本	发行时间	新制/修订内容
2017-06-A1	2017-06	新制
2021-12-A2	2021-12	修改订购信息
2022-02-A3	2022-02	工作温度修改为-40℃~+105℃;添加-40℃~+105℃参数表
2022-03-A4	2022-03	修改订购信息注1



## Wuxi I-CORE Electronics Co., Ltd.

版次: B3

编号: AiP74LVC2G125-AX-LJ-B038

#### 1、概 述

AiP74LVC2G125是一款带三态输出的2路同相缓冲器/线驱动器。三态输出由输出使能输入(引脚nOE)控制。引脚nOE为高电平时,输出呈高阻态。

输入可由3.3V或5V器件驱动。这个特性允许该电路在.3V和5V混合的3环境中使用。

 $I_{OFF}$ 使得该电路完全适用于具有局部掉电的应用。 $I_{OFF}$ 电路禁止输出,以防止在断电时害电流回流电路。

其主要特点如下:

表 835-11

- 电源电压范围: 1.65V~5.5V
- 5V电压输入/输出,用于与5V逻辑接口
- ±24mA输出驱动(V<sub>CC</sub>=3.0V)
- CMOS低功耗
- 与TTL电平直接接口
- 输入时耐压为5V
- 工作环境温度范围为-40℃~+105℃
- 封装形式: TSSOP8/VSSOP8



#### 订购信息:

#### 编带:

产品料号	封装形式	打印标识	编带盘装数	编带盒装数	备注说明
AiP74LVC2G125TA8.TR	TSSOP8	BRXX	3000 PCS/盘	3000 PCS/盒	塑封体尺寸: 3.0mm×3.0mm 引脚间距: 0.65mm
AiP74LVC2G125YA8.TR	VSSOP8	BRXX	3000 PCS/盘	3000 PCS/盒	塑封体尺寸: 2.0mm×2.3mm 引脚间距: 0.50mm

注 1: "XX"为可变内容,表示年份和封装批次流水号。

注 2: 如实物与订购信息不一致,请以实物为准。

江苏省无锡市滨湖区建筑西路 777 号无锡国家集成电路设计中心 B4 栋 http://www.i-core. cn 邮编: 214072

第 2 页 共 13 页 版本: 2022-03-A4



Wuxi I-CORE Electronics Co., Ltd.

wuxi i-core Electronics c 版次: B3

编号: AiP74LVC2G125-AX-LJ-B038

# 2、功能框图及引脚说明

表 835-11

## 2.1、功能框图

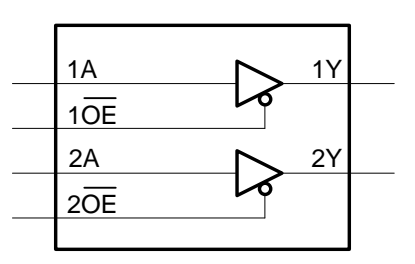


图 1 逻辑符号

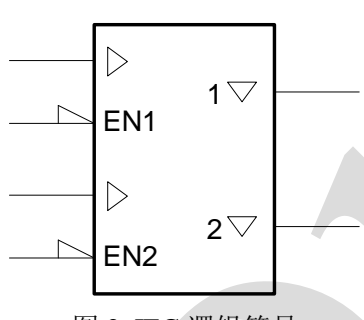
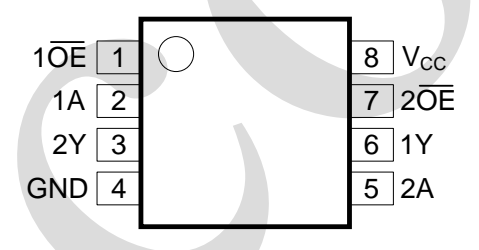


图 2 IEC 逻辑符号

## 2.2、引脚排列图



### 2.3、引脚说明

引脚	符号	功能		
1	1OE	输出使能输入(低电平有效)		
2	1A 数据输入			
3	2Y	数据输出		
4	GND	地 (0V)		
5	2A	数据输入		
6	1Y	数据输出		
7	2OE	输出使能输入(低电平有效)		
8	V <sub>CC</sub>	电源电压		



#### Wuxi I-CORE Electronics Co., Ltd.

版次: B3

编号: AiP74LVC2G125-AX-LJ-B038

## 2.4、真值表、逻辑关系等

表 835-11

输	输出	
nŌE	nA	nY
L	L	L
L	Н	Н
Н	X	Z

注: H=高电平; L=低电平; X=无关; Z=高阻态。

## 3、电特性

#### 3.1、极限参数

参数名称	符号	条 件	最小	最大	单 位
电源电压	$V_{CC}$		-0.5	+6.5	V
输入钳位电流	$I_{IK}$	$V_{I}$ <0 $V$	-50		mA
输入电压	$V_{I}$		-0.5	+6.5	V
输出钳位电流	$I_{OK}$	V <sub>O</sub> >V <sub>CC</sub> 或 V <sub>O</sub> <0V		±50	mA
		使能模式	-0.5	V <sub>CC</sub> +0.5	V
输出电压	$V_{O}$	失能模式	-0.5	+6.5	V
		掉电模式; V <sub>CC</sub> =0V	-0.5	+6.5	V
输出电流	$I_{O}$	$V_{O}=0V\sim V_{CC}$		±50	mA
电源电流	$I_{CC}$	_		100	mA
地电流	$I_{GND}$	_	-100		mA
贮存温度	$T_{stg}$		-65	+150	$^{\circ}$
总功耗	P <sub>tot</sub>			300	mW
焊接温度	$T_{L}$	10 秒	25	0	$^{\circ}$

#### 注:

- [1] TSSOP8 封装: 高于 55℃, P<sub>tot</sub> 的值以 2.5mW/K 线性降低。
- [2] VSSOP8 封装: 高于 110℃, Ptot 的值以 8mW/K 线性降低。

#### 3.2、推荐使用条件

参数名称	符号	条 件	最小	典型	最大	单位
电源电压	$V_{CC}$		1.65		5.5	V
输入电压	$V_{\rm I}$		0	_	5.5	V
		V <sub>CC</sub> =1.65V~5.5V; 使能模式	0	_	$V_{CC}$	V
输出电压	$V_{O}$	V <sub>CC</sub> =1.65V~5.5V; 失能模式	0	_	5.5	V
		V <sub>CC</sub> =0V;掉电模式	0	_	5.5	V
工作环境温度	$T_{amb}$		-40	_	+105	$^{\circ}$
输入上升和下降	Δt/ΔV	$V_{CC}=1.65V\sim 2.7V$			20	ns/V
转换速率	ΔυΔν	$V_{CC}$ =2.7 $V$ $\sim$ 5.5 $V$			10	ns/V

江苏省无锡市滨湖区建筑西路 777 号无锡国家集成电路设计中心 B4 栋 http://www.i-core. cn 邮编: 214072

第 4 页 共 13 页 版本: 2022-03-A4



Wuxi I-CORE Electronics Co., Ltd.

版次: B3

编号: AiP74LVC2G125-AX-LJ-B038

## 3.3、电气特性

## 3.3.1、直流参数 1

表 835-11

(除非另有规定, $T_{amb}$ =-40 $^{\circ}$ C $\sim$ +85 $^{\circ}$ C,GND=0V)

高电平输入 电压       V <sub>II</sub> V <sub>CC</sub> =2.65V~1.95V       0.65× V <sub>CC</sub> -       -       V         V <sub>II</sub> V <sub>CC</sub> =2.3V~2.7V       1.7       -       -       V         V <sub>CC</sub> =4.5V~5.5V       0.7× V <sub>CC</sub> -       -       V         W <sub>I</sub> V <sub>CC</sub> =1.65V~1.95V       -       -       0.35× V <sub>CC</sub> V         V <sub>I</sub> V <sub>I</sub> V <sub>CC</sub> =2.3V~2.7V       -       -       0.7       V         V <sub>CC</sub> =2.3V~2.7V       -       -       0.8       V </th <th>参数名称</th> <th>符号</th> <th>ř</th> <th>则试条件</th> <th>最小</th> <th>典型</th> <th>最大</th> <th>单 位</th>	参数名称	符号	ř	则试条件	最小	典型	最大	单 位
商电平输入 电压  V <sub>III</sub> V <sub>CC</sub> =2.3V~2.7V			$V_{CC}$	=1.65V~1.95V		_		V
他性   V <sub>CC</sub> =2./V~3.6V   2.0	高电平输入	17	$V_{CC} = 2.3 V \sim 2.7 V$					V
Ke电平輸入 电压	电压	V IH	$V_{\rm C}$	$_{\rm C}$ =2.7V $\sim$ 3.6V	2.0		_	V
低电平输入 电压			$V_{\rm C}$	<sub>C</sub> =4.5V~5.5V				V
电压 V <sub>IL</sub> V <sub>CC</sub> =2.7V~3.6V			V <sub>CC</sub>	=1.65V~1.95V	_			
Rich   V <sub>CC</sub> =2.7V~3.6V		V.,	$V_{\rm C}$	$_{\rm C}$ =2.3V $\sim$ 2.7V	_		0.7	V
Note	电压	▼ IL	$V_{\rm C}$	$_{\rm C}$ =2.7V $\sim$ 3.6V				V
Rel 日本			$V_{C}$	<sub>C</sub> =4.5V~5.5V		1		V
日本				-		_	_	V
电压	→ 1. <b>=</b> tA .1.	$V_{\mathrm{OH}}$	V <sub>I</sub> =V <sub>IH</sub> 或V <sub>IL</sub>		1.2	_		V
Heffic				$I_{O} = -8 \text{mA}; V_{CC} = 2.3 \text{V}$	1.9			V
Hamilton   Hamilt	电压 			$I_{O}$ =-12mA; $V_{CC}$ =2.7V	2.2	_		V
Кве平输出				$I_{O}$ =-24mA; $V_{CC}$ =3.0V	2.3			V
Note				$I_{O}$ =-32mA; $V_{CC}$ =4.5V	3.8	_		V
低电平输出 电压				•	_		0.10	V
电压	<b>佐山立松山</b>			$I_{O}=4mA; V_{CC}=1.65V$			0.45	V
		$V_{OL}$	$V_{I}\!\!=\!\!V_{IH}$ 或 $V_{IL}$	$I_0=8mA; V_{CC}=2.3V$	_	_	0.30	V
To=32mA; V <sub>CC</sub> =4.5V	<b>电压</b>			$I_{O}=12mA$ ; $V_{CC}=2.7V$	_	_	0.40	V
输入漏电流 $I_{I}$ $V_{I}=5.5$ V或GND; $U_{CC}=0$ V $V_{CC}=0$				$I_{O}=24mA$ ; $V_{CC}=3.0V$	_		0.55	V
					—		0.55	V
出电流 $I_{OZ}$ $V_{O}=5.5$ V或GND; $V_{CC}=3.6$ V $ \pm 0.1$ $\pm 2$ $uA$ $\pm 0.1$ $\pm 2$ $uA$ $\pm 0.1$ $\pm 0.$	输入漏电流	$I_{\rm I}$	•		_	±0.1	±1	uA
掉电漏电流 $I_{OFF}$ $V_{I}$ 或 $V_{O}$ =5.5 $V$ ; $V_{CC}$ =0 $V$ —       ±0.1       ±2       uA         静态电流 $I_{CC}$ $V_{I}$ =5.5 $V$ 或GND; $V_{CC}$ =1.65 $V$ ~5.5 $V$ ; $I_{O}$ =0A       —       0.1       4       uA         串通电流 $\Delta I_{CC}$ 每个引脚; $V_{I}$ = $V_{CC}$ -0.6 $V$ ; $I_{O}$ =0A; $V_{CC}$ =2.3 $V$ ~5.5 $V$ —       5       500       uA	*** * * = ****	$I_{OZ}$	$V_{I}$ = $V_{IH}$ 或 $V_{IL}$ ;			±0.1	±2	uA
静态电流 $I_{CC}$ $V_{CC}=1.65V\sim5.5V;\ I_0=0A$ $-$ 0.1 4 uA $-$ 5 500 uA $-$ 5 500 uA	掉电漏电流	I <sub>OFF</sub>			_	±0.1	±2	uA
串通电流       ΔI <sub>CC</sub> 每个引脚; V <sub>I</sub> =V <sub>CC</sub> -0.6V; I <sub>O</sub> =0A; V <sub>CC</sub> =2.3V~5.5V       —       5       500       uA	静态电流	$I_{CC}$	V <sub>I</sub> =5.5V或GND;		_	0.1	4	uA
	串通电流	$\Delta I_{CC}$	每个引用	却; V <sub>I</sub> =V <sub>CC</sub> -0.6V;		5	500	uA
	输入电容	$C_{I}$	-0 -12,	—		2	_	pF

注: 所有典型值都是在 V<sub>CC</sub>=3.3V 和 T<sub>amb</sub>=25℃时测量的。



Wuxi I-CORE Electronics Co., Ltd.

版次: B3

编号: AiP74LVC2G125-AX-LJ-B038

## 3.3.2、直流参数 2

表 835-11

(除非另有规定,T<sub>amb</sub>=-40℃~+105℃,GND=0V)

参数名称	符号	Ä	则试条件	最小	典型	最大	单 位
		$V_{CC}$	=1.65V~1.95V	$0.65 \times V_{CC}$	_		V
高电平输入	<b>3</b> 7	$V_{\rm C}$	<sub>C</sub> =2.3V~2.7V	1.7		_	V
电压	$V_{IH}$	$V_{\rm C}$	$_{\rm C}$ =2.7V $\sim$ 3.6V	2.0	_	_	V
		$V_{\rm C}$	<sub>C</sub> =4.5V~5.5V	$\begin{array}{c} 0.7 \times \\ V_{CC} \end{array}$			V
		$V_{CC}$	=1.65V~1.95V	_	1	$\begin{array}{c} 0.35 \times \\ V_{CC} \end{array}$	V
低电平输入	$V_{\rm IL}$	$V_{\rm C}$	$_{\text{C}}$ =2.3V $\sim$ 2.7V	_	_	0.7	V
电压	V IL	$V_{\rm C}$	$_{\rm C}$ =2.7V $\sim$ 3.6V			0.8	V
		$V_{\rm C}$	<sub>C</sub> =4.5V~5.5V			$V_{CC}$	V
			I <sub>O</sub> =-100uA; V <sub>CC</sub> =1.65V~5.5V	V <sub>CC</sub> - 0.1			V
<b>宣出亚松山</b>	$V_{\mathrm{OH}}$		$I_{O}$ =-4mA; $V_{CC}$ =1.65V	0.95	_	_	V
高电平输出 电压		$V_{i}=V_{IH}$ 或 $V_{IL}$	$I_{O}$ =-8mA; $V_{CC}$ =2.3V	1.7	_	_	V
电压			$I_{O}$ =-12mA; $V_{CC}$ =2.7V	1.9	)		V
			$I_{O}$ =-24mA; $V_{CC}$ =3.0V	2.0	_		V
			$I_{O}$ =-32mA; $V_{CC}$ =4.5V	3.4			V
			$I_{O}$ =100uA; $V_{CC}$ =1.65V $\sim$ 5.5V	_	_	0.10	V
<b>医去豆炒</b> 山			I <sub>O</sub> =4mA; V <sub>CC</sub> =1.65V	_		0.70	V
低电平输出	$V_{OL}$	$V_{I}\!\!=\!\!V_{IH}$ 或 $V_{IL}$	I <sub>O</sub> =8mA; V <sub>CC</sub> =2.3V	—		0.45	V
电压			$I_{O}=12mA$ ; $V_{CC}=2.7V$	_	_	0.60	V
			$I_{O}=24mA$ ; $V_{CC}=3.0V$	_	_	0.80	V
			$I_0=32mA$ ; $V_{CC}=4.5V$			0.80	V
输入漏电流	$I_{\rm I}$		$V_{I}$ =5.5V或GND; $V_{CC}$ =0V $\sim$ 5.5V		_	±1	uA
截止状态输 出电流	I <sub>OZ</sub>	$V_{I}=V_{IH}$ 或 $V_{IL}$ ; $V_{O}=5.5$ V或GND; $V_{CC}=3.6$ V		_	_	±2	uA
掉电漏电流	$I_{\mathrm{OFF}}$	$V_{\rm I}$ $\stackrel{\frown}{\boxtimes}$ $V_{\rm CC}$ $\stackrel{\frown}{=}$ $0$ $V_{\rm CC}$		_	_	±2	uA
静态电流	$I_{CC}$	-	$V_{I}$ =5.5V或GND; $V_{CC}$ =1.65V $\sim$ 5.5V; $I_{O}$ =0A			4	uA
串通电流	$\Delta I_{CC}$	每个引息	期; $V_I = V_{CC} - 0.6V$ ; $V_{CC} = 2.3V \sim 5.5V$	_	_	500	uA

注: 所有典型值都是在  $V_{CC}=3.3V$  和  $T_{amb}=25$   $\mathbb{C}$  时测量的。



Wuxi I-CORE Electronics Co., Ltd.

版次: B3

编号: AiP74LVC2G125-AX-LJ-B038

#### 3.3.3、交流参数 1

表 835-11

(除非另有规定, T<sub>amb</sub>=-40℃~+85℃, GND=0V)

参数名称	符号	测音	试条件	最小	典型	最大	单 位
			$V_{CC}=1.65V\sim1.95V$	1.0	3.7	9.1	ns
nA到nY的			$V_{CC}=2.3V\sim2.7V$	0.5	2.5	4.8	ns
传输延时	$t_{pd}$	见图4	$V_{CC}=2.7V$	1.0	2.7	4.8	ns
1440年1			$V_{CC}=3.0V\sim3.6V$	0.5	2.3	4.3	ns
			$V_{CC}=4.5V\sim5.5V$	0.5	1.9	3.7	ns
			$V_{CC}=1.65V\sim1.95V$	1.5	4.3	9.9	ns
	t <sub>en</sub>		$V_{CC}=2.3V\sim2.7V$	1.0	2.8	5.6	ns
nOE到nY的 使能时间		见图5	见图5 V <sub>CC</sub> =2.7V		3.3	5.7	ns
(実			$V_{CC} = 3.0 V \sim 3.6 V$	0.5	2.4	4.7	ns
			$V_{CC} = 4.5 V \sim 5.5 V$	0.5	2.0	3.8	ns
			$V_{CC}=1.65V\sim1.95V$		3.5	11.6	ns
			$V_{CC}=2.3V\sim2.7V$		1.8	5.8	ns
nOE到nY的	$t_{dis}$	见图5	见图5 V <sub>CC</sub> =2.7V		2.7	4.8	ns
失能时间			$V_{CC} = 3.0 V \sim 3.6 V$		2.7	4.6	ns
			$V_{CC} = 4.5 V \sim 5.5 V$	0.5	1.8	3.4	ns
功耗电容	$C_{PD}$	每个缓冲器;	输出使能	_	18	_	pF
ツ 代 巴 台	CPD	$V_{I}=GND\sim V_{CC}$	输出失能		5	_	pF

#### 注:

- [1] 典型值是在标准电压V<sub>CC</sub>和T<sub>amb</sub>=25℃时测量的。
- [2] t<sub>pd</sub>与t<sub>PLH</sub>和t<sub>PHL</sub>相同。
- [3] ten与tPZH和tPZL相同。
- [4] t<sub>dis</sub>与t<sub>PLZ</sub>和t<sub>PHZ</sub>相同。
- [3] C<sub>PD</sub>用于确定动态功耗(P<sub>D</sub>单位为uW)。

 $P_D = (C_{PD} \times V_{CC}^2 \times f_i \times N) + \sum (C_L \times V_{CC}^2 \times f_o)$ , 其中:

f:=输入频率,单位为MHz;

f<sub>o</sub>=输出频率,单位为MHz;

C<sub>L</sub>=输出负载电容,单位为pF;

V<sub>CC</sub>=电源电压,单位为V;

N=输入开关数;

 $\sum (C_L \times V_{CC}^2 \times f_o) =$ 输出总和。



#### Wuxi I-CORE Electronics Co., Ltd.

版次: B3

编号: AiP74LVC2G125-AX-LJ-B038

#### 3.3.4、交流参数 2

表 835-11

(除非另有规定,T<sub>amb</sub>=-40℃~+105℃,GND=0V)

参数名称	符号	测	试条件	最小	典型	最大	单 位
		$V_{CC}=1.65V\sim1.95V$	1.0	_	11.4	ns	
nA到nY的			$V_{CC}=2.3V\sim2.7V$	0.5	_	6.0	ns
传输延时	$t_{pd}$	见图4	V <sub>CC</sub> =2.7V	1.0	_	6.0	ns
12 制建的			$V_{CC} = 3.0 V \sim 3.6 V$	0.5	_	5.5	ns
			$V_{CC}$ =4.5 $V$ ~5.5 $V$	0.5	_	4.6	ns
			$V_{CC}$ =1.65 $V$ ~1.95 $V$	1.5		12.4	ns
	t <sub>en</sub>		$V_{CC}=2.3V\sim2.7V$	1.0		7.0	ns
nOE到nY的		见图5	$V_{CC}=2.7V$	1.5	—	7.1	ns
使能时间			$V_{CC} = 3.0 V \sim 3.6 V$	0.5		5.9	ns
			$V_{CC}$ =4.5 $V$ ~5.5 $V$	0.5		4.8	ns
			$V_{CC}=1.65V\sim1.95V$	1.0		14.1	ns
			$V_{CC}=2.3V\sim2.7V$	0.5	_	7.6	ns
nOE到nY的	$t_{ m dis}$	t <sub>dis</sub> 见图5	V <sub>CC</sub> =2.7V	1.0		6.2	ns
失能时间			$V_{CC} = 3.0 V \sim 3.6 V$	1.0	_	5.9	ns
			$V_{CC} = 4.5 V \sim 5.5 V$	0.5		4.6	ns

#### 注:

- [1] 典型值是在标准电压V<sub>CC</sub>和T<sub>amb</sub>=25℃时测量的。
- [2] t<sub>pd</sub>与t<sub>PLH</sub>和t<sub>PHL</sub>相同。
- [3] t<sub>en</sub>与t<sub>PZH</sub>和t<sub>PZL</sub>相同。
- [4] t<sub>dis</sub>与t<sub>PLZ</sub>和t<sub>PHZ</sub>相同。



Wuxi I-CORE Electronics Co., Ltd.

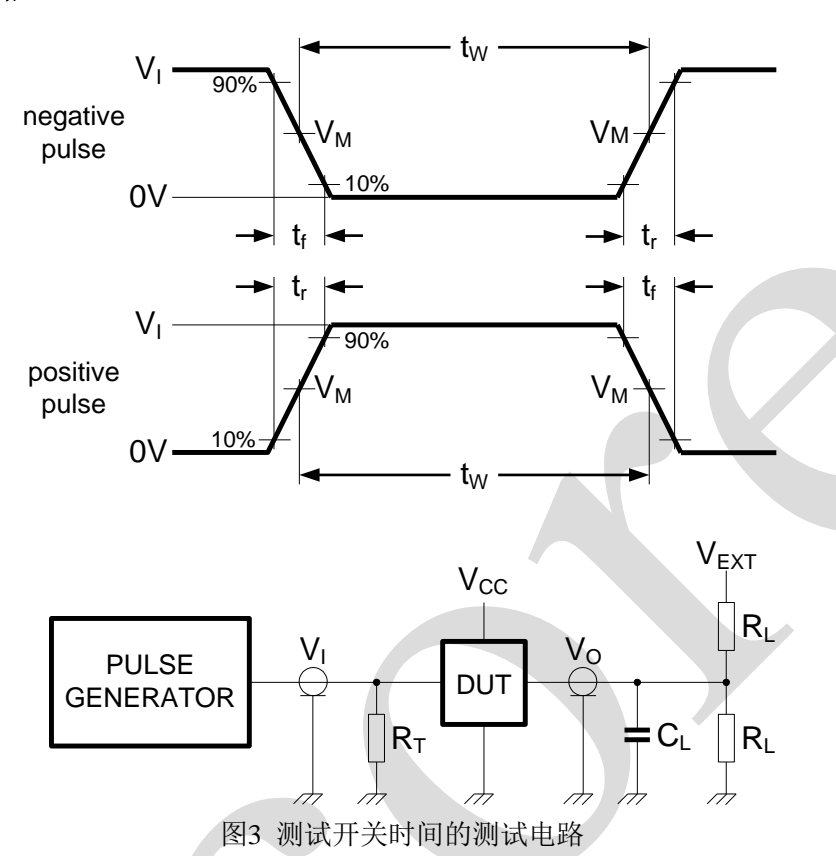
版次: B3

编号: AiP74LVC2G125-AX-LJ-B038

#### 4、测试线路

#### 4.1、交流测试线路

表 835-11



测试电路的定义:

R<sub>L</sub>=负载电阻

C<sub>L</sub>=负载电容,包括探针、夹子上的电容

R<sub>T</sub>=终端电阻须与信号发生器的输出阻抗Z。匹配

V<sub>EXT</sub>=用于测量切换时间的外部电压

## 4.2、交流测试波形

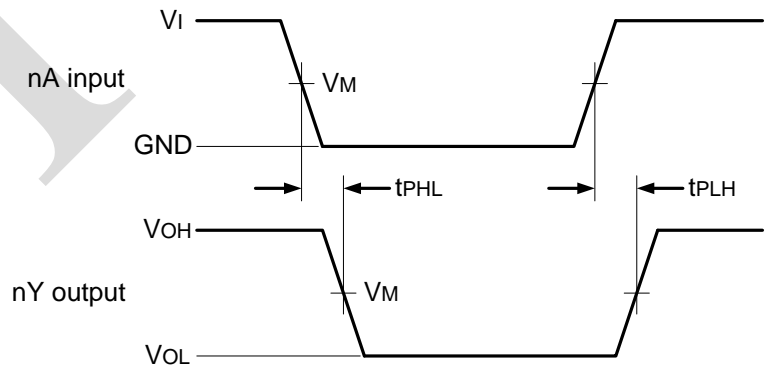


图4 输入(nA)到输出(nY)传输延迟及输出转换时间

表 835-11

# 无锡中微爱芯电子有限公司

Wuxi I-CORE Electronics Co., Ltd.

版次: B3

编号: AiP74LVC2G125-AX-LJ-B038

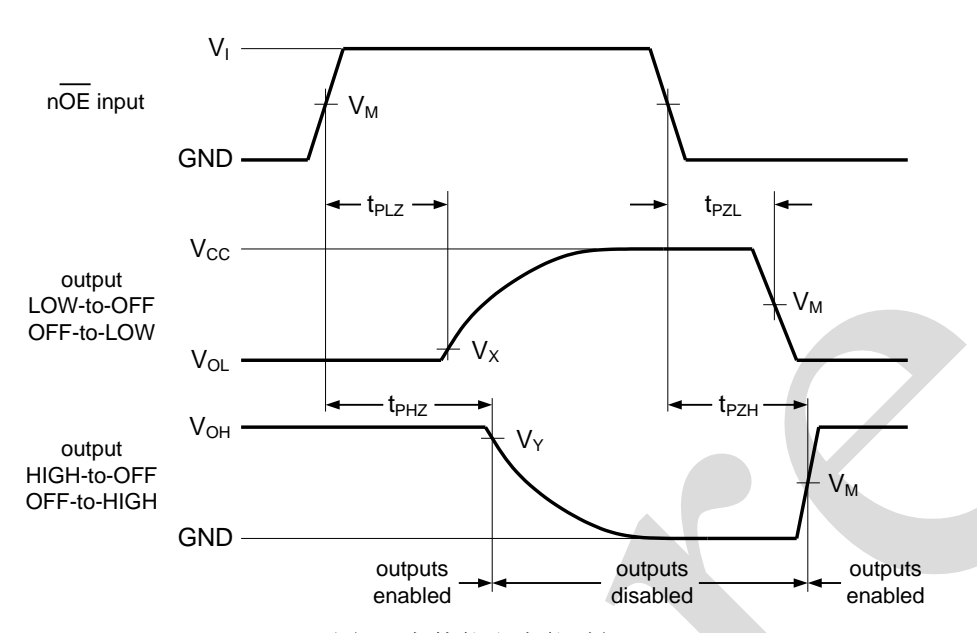


图5 3态使能和失能时间

#### 4.3、测试点

电源电压	输入		输出	
$\mathbf{V}_{\mathbf{CC}}$	$\mathbf{V}_{\mathbf{M}}$	$V_{\mathrm{M}}$	$\mathbf{V}_{\mathbf{X}}$	$\mathbf{V}_{\mathbf{Y}}$
1.65V~1.95V	$0.5 \times V_{CC}$	$0.5 \times V_{CC}$	V <sub>OL</sub> +0.15V	V <sub>OH</sub> -0.15V
2.3V~2.7V	$0.5 \times V_{CC}$	$0.5 \times V_{CC}$	$V_{OL} + 0.15V$	V <sub>OH</sub> -0.15V
2.7V	1.5V	1.5V	$V_{OL}+0.3V$	V <sub>OH</sub> -0.3V
3.0V~3.6V	1.5V	1.5V	$V_{OL}+0.3V$	V <sub>OH</sub> -0.3V
4.5V∼5.5V	$0.5 \times V_{CC}$	$0.5 \times V_{CC}$	V <sub>OL</sub> +0.3V	V <sub>OH</sub> -0.3V

## 4.4、测试数据

电源电压	输	λ	负	载		$V_{EXT}$	
$\mathbf{V}_{\mathbf{CC}}$	$\mathbf{V_{I}}$	$t_r = t_f$	$\mathbf{C}_{\mathbf{L}}$	$\mathbf{R}_{\mathrm{L}}$	$t_{\mathrm{PLH}}$ , $t_{\mathrm{PHL}}$	$t_{\mathrm{PZH}}$ , $t_{\mathrm{PHZ}}$	$t_{\mathrm{PZL}}$ , $t_{\mathrm{PLZ}}$
1.65V~1.95V	$V_{CC}$	≤ 2.0ns	30pF	1kΩ	open	GND	$2\times V_{CC}$
2.3V~2.7V	$V_{CC}$	≤ 2.0ns	30pF	500Ω	open	GND	$2\times V_{CC}$
2.7V	2.7V	≤ 2.5ns	50pF	500Ω	open	GND	6V
3.0V~3.6V	2.7V	≤ 2.5ns	50pF	500Ω	open	GND	6V
4.5V~5.5V	$V_{CC}$	≤ 2.5ns	50pF	500Ω	open	GND	$2\times V_{CC}$



# 无锡中微爱芯电子有限公司 Wuxi I-CORE Electronics Co., Ltd.

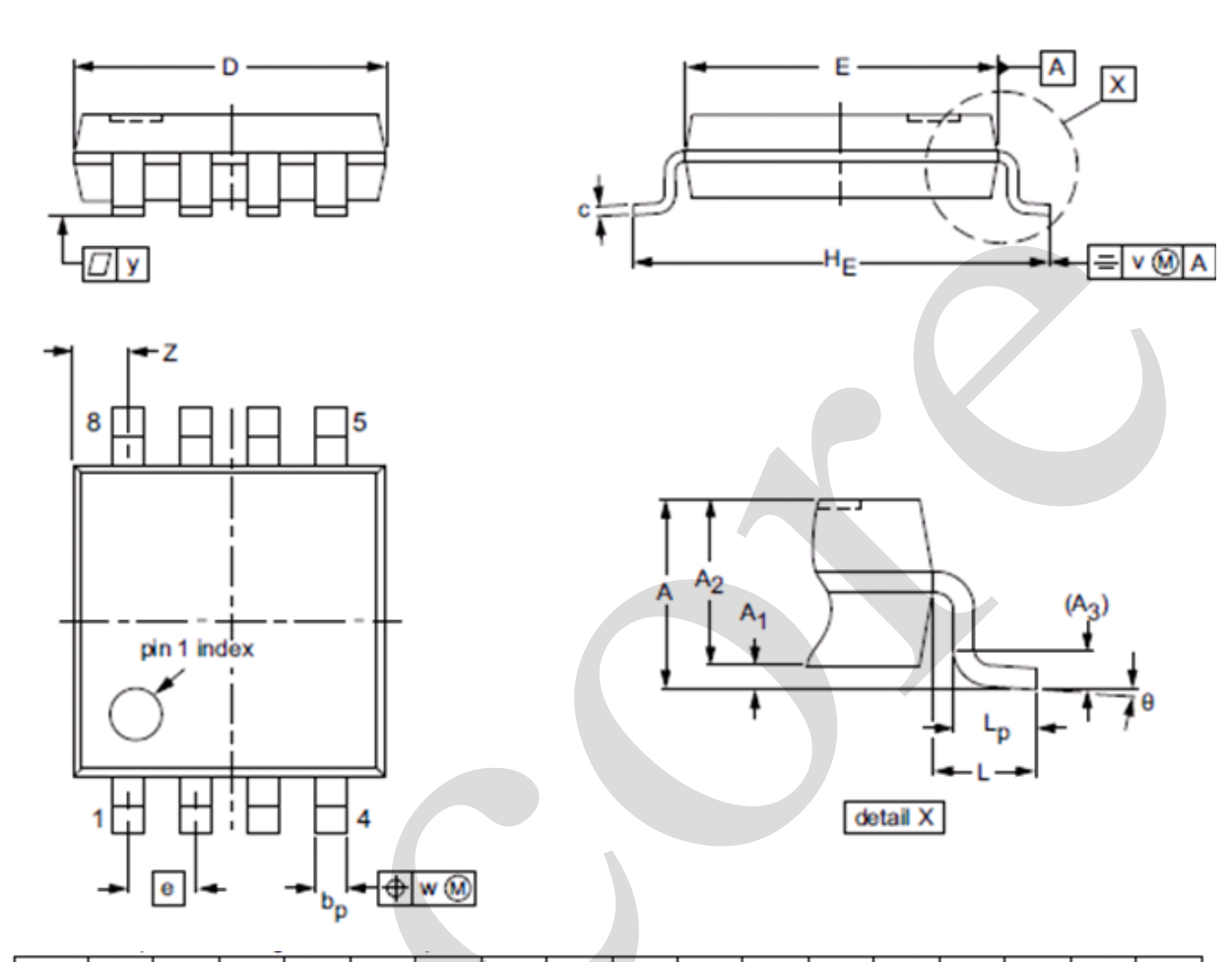
版次: B3

编号: AiP74LVC2G125-AX-LJ-B038

# 5、封装尺寸与外形图

## 5.1、TSSOP8 外形图与封装尺寸

表 835-11



UN	IT	A max.	A <sub>1</sub>	A <sub>2</sub>	A <sub>3</sub>	bp	c	D <sup>(1)</sup>	E(1)	e	HE	L	Lр	<b>v</b>	w	y	Z <sup>(1)</sup>	θ
mi	m	1.1	0.15 0.00	0.95 0.75	0.25	0.38 0.22	0.18	3.1 2.9	3.1 2.9	0.65	4.1 3.9	0.5	0.47 0.33	0.2	0.13	0.1	0.70 0.35	8° 0°



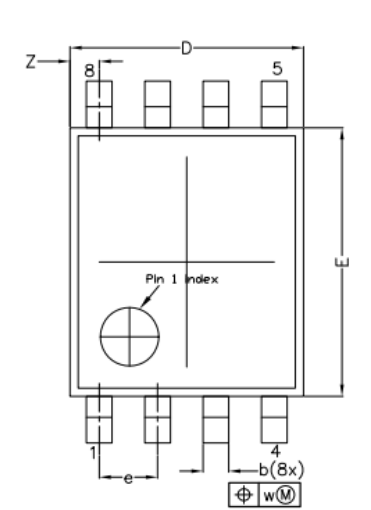
# 无锡中微爱芯电子有限公司 Wuxi I-CORE Electronics Co., Ltd.

版次: B3

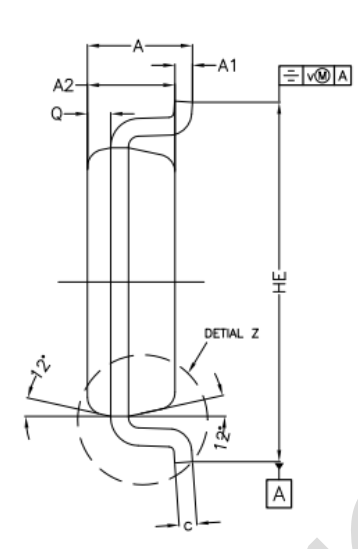
编号: AiP74LVC2G125-AX-LJ-B038

## 5.2、VSSOP8 外形图与封装尺寸

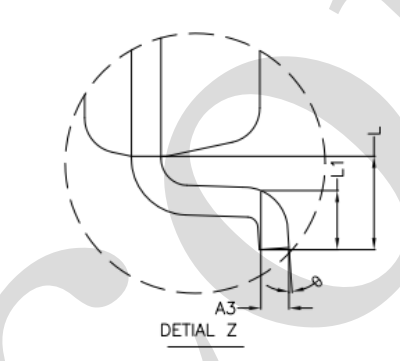
表 835-11



TOP VIEW



SIDE VIEW

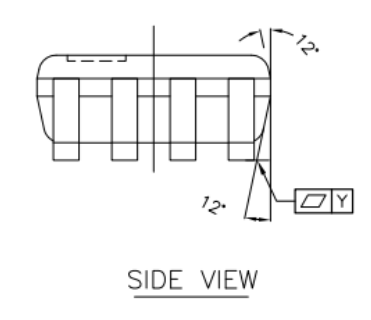


\* CONTROLLING DIMENSION : MM

SYMBOL	MILLIMETER							
01111000	MIN.	NOM.	MAX.					
Α			1.00					
A1	0.00		0.15					
A2	0.60	0.75	0.85					
A3		0.12						
Q	0.19	0.20	0.21					
Ь	0.17	0.22	0.27					
С	0.08		0.23					
D	1.90	2.00	2.10					
E	2.20	2.30	2.40					
HE	3.00	3.10	3.20					
е	0.50 bsc							
L	0.40 bsc							
L1	0.15		0.40					
Υ		0.10						
٧		0.20						
w		0.08						
Z	0.10		0.40					
θ	0.		8*					

#### NOTES

1.0 COPLANARITY APPLIES TO LEADS, CORNER LEADS AND DIE ATTACH PAD.





Wuxi I-CORE Electronics Co., Ltd.

版次: B3

编号: AiP74LVC2G125-AX-LJ-B038

# 6、声明及注意事项

表 835-11

#### 6.1、产品中有毒有害物质或元素的名称及含量

	有毒有害物质或元素											
部件 名称	铅 (Pb)	汞 (Hg)	镉 (Cd)	六阶铬 (Cr (VI ))	多溴联 苯 (PBBs )	多溴联 苯醚 (PBD Es)	邻苯二 甲酸二 丁酯 (DBP)	邻苯二 甲酸丁 苄酯 (BBP)	邻苯二甲 酸二 (2- 乙基巳 基)酯 (DEHP)	邻苯二甲酸 二异丁酯 (DIBP)		
引线框	0	0	0	0	0	0	0	0	0	0		
塑封 树脂	0	0	0	0	0	0	0	0	0	0		
芯片	0	0	0	0	0	0	0	0	0	0		
内引线	0	0	0	0	0	0	0	0	0	0		
装片胶	0	0	0	0	0	0	0	0	0	0		
说明	○:表示该有毒有害物质或元素的含量在 SJ/T11363-2006 标准的检出限以下。 ×:表示该有毒有害物质或元素的含量超出 SJ/T11363-2006 标准的限量要求。											

#### 6.2、注意

在使用本产品之前建议仔细阅读本资料;

本资料中的信息如有变化, 恕不另行通知;

本资料仅供参考,本公司不承担任何由此而引起的任何损失;

本公司也不承担任何在使用过程中引起的侵犯第三方专利或其它权利的责任。

